

## ارزیابی نانوذرات سیلیکای مغناطیسی تیمار شده با ایندیم-۱۱۱ در رده سلوی SKBR3

محمد حسنوند<sup>۱</sup>، فاطمه کشاورزی<sup>۲\*</sup>، پرویز اشتربی<sup>۳</sup>، بهروز علیرضاپور<sup>۳</sup>

- (۱) گروه زیست شناسی، واحد علوم تحقیقات کردستان، دانشگاه آزاد اسلامی، سنندج، ایران  
 (۲) گروه زیست شناسی، واحد سنندج، دانشگاه آزاد اسلامی، سنندج، ایران  
 (۳) پژوهشکده کاربرد پرتوها، پژوهشگاه علوم و فنون هسته ای، کرج، ایران

تاریخ دریافت: ۹۴/۶/۲۹

تاریخ پذیرش: ۹۳/۸/۵

### چکیده

**مقدمه:** نانوذرات مغناطیسی به عنوان گروهی از مواد نانو مقیاس، انقلاب عظیمی را در روش‌های تشخیص و درمان در دانش پژوهشی ایجاد کرده‌اند. نیمه عمر مناسب رادیوازوتوپ ایندیم-۱۱۱ باعث شده تا این رادیوازوتوپ برای مطالعات داخل بدن، مورد استفاده قرار گیرد. در این پژوهش، در ابتدا تهیه کمپلکس رادیو داروی ایندیم-۱۱۱ با نانوذرات مغناطیسی سیلیکات( $\text{Fe}_3\text{O}_4@\text{SiO}_2$ )، جهت به دست آوردن شرایط بهینه جذب و پایداری، مورد بررسی قرار می‌گیرد. سپس نفوذپذیری این رادیودارو در رده سلوی SKBR3 سرطان پستان، به منظور استفاده در تشخیص سایر بیماری‌ها آزمایش گردید.

**مواد و روش‌ها:** هسته مغنتیک با روش رسوب دهی تهیه شد. سپس به عنوان هسته ای برای ستر نانوذرات سیلیکات مورد استفاده قرار گرفت. نانوذرات بر اساس روش سل-ژل در میکرومولسیون وارونه و با استفاده از TEOS و APTS به عنوان مونومرها و پیش سازها ستر شد. سپس رادیو ایزوتوپ ایندیم-۱۱۱ بر سطح نانو پارتیکل‌های سیلیکات مغنتیت چذب شد و ذرات رادیو کونتروگه شکل گرفت. سرانجام ورود این ذرات رادیو کونتروگه در رده سلوی SKBR3 سرطان پستان از طریق کشت سلول مورد بررسی قرار گرفت.

**یافته‌های پژوهش:** نتایج حاصل از میکروسکوپ الکترونی عبوری نشان داد که سایز متوسط نانوذرات تولید شده ۴۰ نانومتر است. این سایز برای کاربردهای بیولوژیک مناسب است. بررسی رادیو آتلیز آشکار کرد که بیش از ۹۲ درصد ایندیم-۱۱۱ اولیه بر روی نانوذره ثابت شد. در بررسی ورود رادیو نانوکنتروگه  $^{111}\text{In}$ -MSN به دون سلول‌های SKBR3، مشخص شد فعالیت ایندیم رادیواکتیو وارد شده در سلول‌های SKBR3 برای رادیونانو کنتروگه‌های  $^{111}\text{In}$ -MSN پس از یک ساعت از آغاز مطالعه به بالاترین کارایی یعنی ۲۶ درصد تا ۲۷ درصد رسید. نتایج تست‌های پایداری آشکار کرد رادیو کونتروگه‌های پایدار شده در طی شست و شو و پراکندگی محکم هستند و بنا بر این به عنوان یک کانتروگیشن محکم در نظر گرفته می‌شود.

**بحث و نتیجه گیری:** نظر به ویژگی‌های منحصر به فرد ایندیم-۱۱۱ نانوذرات ذکر شده که با استفاده از روش‌های بیوتکنولوژی آماده شده اند می‌توان برای اهداف تشخیص استفاده شوند.

**واژه‌های کلیدی:** رادیودارو، نانوذرات مغناطیسی سیلیکات، ایندیم-۱۱۱، سرطان پستان، رده سلوی SKBR3

\*نویسنده مسئول: گروه زیست شناسی، واحد سنندج، دانشگاه آزاد اسلامی، سنندج، ایران

Email: gol.keshavarzi@gmail.com

## مقدمه

برای کمپلکس‌ها افزایش می‌یابد میل ترکیبی به ترتیب  $\text{B} < \text{Al} < \text{In} < \text{Tl}$  افزایش می‌یابد. این پیش‌فرض به وجود آمده که احتمالاً تمایل نشان دار سازی  $\text{In}^{+3}$  نسبت به عناصر خانواده خود بیشتر می‌باشد. ایندیم-۱۱ در عضوهایی با رشد سریع دارای جذب بالاتری است، هم چنین در بافت‌هایی نظیر کبد، طحال، مغز استخوان، غدد لنفاوی، بیضه‌ها و تخمدان‌ها دارای جذب و پراکنش بسیار یکنواختی است. برای اولین بار در سال ۱۹۵۳  $\text{Ga}-67$  برای مطالعات بافت زنده مورد استفاده قرار گرفت<sup>(۳)</sup> و سپس ۱۶ سال بعد، ایندیم-۱۱ برای تعیین محل تومور در حیوانات به کار رفت<sup>(۴)</sup>. Hooge و همکاران در سال ۲۰۰۴ تراستوزوماب را با واسطه شلاتور DTPA با ایندیم-۱۱ نشان دار نموده و مطالعات توزیع زیستی و هم‌چنین رادیوایمونوسیتی گرافی را بر روی موش‌های توموری انجام دادند در نتیجه مشاهده کردند که پس از گذشت ۳ روز مقدار حدود ۱۲ درصد اکتیویته در تومور تجمع پیدا کرده است<sup>(۵)</sup>. Constantini و همکاران در تحقیقی تراستوزوماب را با ایندیم-۱۱ نشان دار نموده و درصد ورود آن را در ده سلولی SKBR3 ارزیابی نمودند، این گروه تحقیقاتی گزارش کردند که این کمپلکس پس از ۱۲ ساعت به حداقل درصد ورود در حدود ۱۱ درصد می‌رسد<sup>(۶)</sup>. در سال ۲۰۰۵ Tang و همکاران نیز تراستوزوماب را با ایندیم-۱۱ نشان دار نموده و پس از گذشت ۷۲ ساعت از تزریق رادیوایمونوکثروگه حاصل به موش حامل تومور پستان، به اندازه ای رسیدند که مناسب برای تصویربرداری است<sup>(۷)</sup>. نیمه عمر فیزیکویولوژیکی ایندیوم-۱۱ به ترتیب ۶۷ و ۸۲ ساعت می‌باشد. نیمه عمر مناسب باعث شده تا این رادیوایزوتوپ برای مطالعات داخل بدن، تا چندین روز بدون این که بیمار متتحمل رادیواکتیویته زیادی شود مورد استفاده قرار گیرد<sup>(۸,۹)</sup>.

با توجه به آن چه بیان شد هدف این مطالعه تهیه نانوذرات هسته-پوسته مگنتیت-سیلیکات با اندازه‌هایی بین  $۱۰-۵۰$  نانومتر است که انتقال دهنده، رادیودارویی ایندیم-۱۱ باشد و سپس بررسی درصد ورود آن در ده سلولی SKBR3 است تا بتوان از آن در مطالعات

نانوذرات سیلیکات مخصوصاً نانوذرات مغناطیسی برای تشخیص و جداسازی سلول‌ها و اجزای سلولی و کمک تشخیصی از قبیل دارورسانی، انتقال ژن و تصویر برداری MRI استفاده می‌شوند. پوشش دهی سطح نانوذرات با مواد مختلف برای تشکیل ساختار هسته و پوسته منجر به تشکیل مواد جدید می‌شود که می‌توان برای توسعه کاتالیست‌ها، ابزارهای الکترونیکی و نوری مورد استفاده قرار گیرد<sup>(۱)</sup>. در چند سال اخیر، مطالعات زیادی در زمینه تهیه نانوذرات مغناطیسی از قبیل اکسید آهن و هم چنین مطالعات زیادی برای درک رفتار مغناطیسی نانوذرات به دلیل فهم و انفعالات ممکن بین سطح و ذرات درونی در ماتریکس مغناطیسی-غیرمغناطیسی، مرکز شده است. کپسوله کردن نانوذرات مغناطیسی در سیلیکا یک روش قابل اطمینان و مهم در توسعه نانوذرات مغناطیسی برای کاربردهای جدید می‌باشد. پوسته سیلیکا یک سطح خنثی از لحاظ شیمیایی برای سیستم‌های نانوذرات فراهم می‌کند و سازگاری زیستی خوب سیلیکات امکان کاربردهای عملی نانوذرات مغناطیسی در سیستم‌های مغناطیسی رهایش دارو، هدف گیری تومور و جداسازی‌های شیمیایی سلول‌ها و پروتئین‌ها با کمک مغناطیس را فراهم می‌کند<sup>(۱)</sup>. دارورسانی هدفمند تنها در اندازه نانو و با استفاده از نانوذرات صدق می‌کند. انتخاب یک نانو مدل کاربردی برای دارورسانی هدفمند با توجه به چندین مزیت صورت می‌گیرد، که از آن جمله می‌توان به پایداری دارو در انتقال هدفمند، جلوگیری از فاگوسیتوز، انتقال آسان غیرفعال، انتقال دهنده‌های سطح غشاء سلولی دارو، نسبت بالای سطح به حجم و در نتیجه عملکرد بهتر و رهایش مناسب دارو در جایگاه‌های هدف اشاره نمود<sup>(۲)</sup>.

رادیوایزوتوپ ایندیم-۱۱ جزء رادیونوکلئیدهایی است که در شتاب دهنده‌ها (سیکلولترون‌ها) تولید می‌شود. از آن جایی که In در گروه ۳ جدول تناوبی و پایین تر از Ga است و از آن جا که در گروه سوم جدول تناوبی از بالا به پایین ظرفیت نشان دار سازی

انتها سدیم هیدروکسید به عنوان کاتالیزور اضافه شد. پس از افزودن کاتالیزور و شروع واکنش که برای تکمیل شدن ۲۴ ساعت وقت لازم دارد. سپس نانوذرات با استون و اتانول شست و شو داده شد و در انتهای با نرمال سالین شست و شو و در حداقل مقدار آن نگهداری شد. در ادامه با میکروسکوپ الکترونی عبوری ذرات سایز و مورفولوژی ذرات بررسی شد از این نانوذرات برای بررسی مورفولوژی نانوذرات و بررسی و بهینه سازی شرایط جذب ایندیم-۱۱۱ و بررسی پایداری این رادیو دارو بر روی نانوذرات مغناطیسی سیلیکات استفاده شد.

میزان جذب ایندیم در نانوذرات مغناطیسی سیلیکات: از دو بافر نرمال سالین(سدیم کلرید ۰/۹ درصد) و PBS (Phosphate Buffered Saline) برای ثبت ایندیم-۱۱۱ روی نانوذرات مغناطیسی پوشش داده شده با سیلیکات از محلول های ۱ ppm و ۳ ppm و ۵ ppm ایندیم استفاده شد.

انتخاب حلال مناسب: وزن(غلظت) مشخصی از نانوذرات به هر ویال طبق جدول شماره ۱ محلول ایندیم در غلظت های مختلف و در بافرهای نرمال سالین و PBS افزوده شد. هر ویال را با دستگاه اولتراسونیک، همزده شد تا مخلوط و محلول همگن شود. ویال ها به مدت ۳ ساعت روی شیکر قرار داده شدند تا به حالت تعادل برسند. بعد محلول سانتریفیوژ و مایع رویی جدا و با دستگاه پلاروگرافی غلظت باقیمانده از ایندیم در هر ویال اندازه گیری شد تا بعد از محاسبه مقدار جذب به دست آید(۱۰).

توزیع زیستی و تشخیص و درمان بیماری ها در آینده استفاده کرد.

## مواد و روش ها

تهیه نانوذرات مغنتیت( $Fe_3O_4$ ): سنتز نانوذرات سیلیکاتی با فرآیند استوبر در امولسیون معکوس انجام گرفت. با اضافه کردن نانوذرات  $Fe_3O_4$  به محلول واکنش در مدت انجام واکنش نانوذرات  $Fe_3O_4$  به وسیله پوسته سیلیکاتی احاطه می شوند و سبب تشکیل نانوذرات هسته-پوسته  $Fe_3O_4@SiO_2$  می شود.

برای انجام کار ابتدا نانوذرات مغنتیت( $Fe_3O_4$ ) به روش رسوبیگری تهیه شدند(۱۰). برای انجام این کار، ۲۰ میلی لیتر مخلوط آبی کلرید آهن (FeCl<sub>3.6H<sub>2</sub>O</sub>(2.7M)(III)) و کلرید آهن (FeCl<sub>2.4H<sub>2</sub>O</sub>(1.35M)(II)) به طور هم زمان همراه با هم زدن مکانیکی قوی به ۱۱۰ میلی لیتر محلول آمونیاک(M/۱/۵) اضافه شد. بعد از ۳۰ دقیقه هم زدن، رسوب مغنتیک از محلول به وسیله جداساز مغناطیسی جدا شد و سه بار با آب شست و شو داده شد. سپس نانوذرات مغناطیسی مغنتیک تجمع یافته و به وسیله دستگاه اولتراسوند به مدت ۱۰ دقیقه در آب پراکنده شد، سپس مقدار مقتضی از محلول مغنتیت به میکروامولسیون معکوس که از افزودن حجم مورد نیاز از سیکلوهگزان، n-هگزانول، تریتون-X-100-TEOS به نسبت ۴:۱ و ۱ میلی لیتر آب تهیه می شود، افزوده شد. برای ایجاد پوشش سیلیکاترالتوکسیسیلان(APTES) و ۳-آمینوپروپیل تری اتوکسی سیلان(APTES) به مقدار لازم به محلول میکرو امولسیون اضافه شد و در

## (ارزیابی نانوذرات سیلیکای مغناطیسی تیما) شده با ایندیم-۱۱۱ در رده سلولی ... فاطمه کشاورزی و همکاران

جدول شماره ۱ . شرایط جذب ایندیم در ۳ ساعت. غلطت ها بر اساس کمترین غلطتی که قابل تهیه است انتخاب شده اند.

شماره ویال	غلظت ایندیم(ppm)	بافر
۱	1ppm ایندیم	نرمال سالین(Ns)
۲	3ppm ایندیم	نرمال سالین(Ns)
۳	5ppm ایندیم	نرمال سالین(Ns)
۴	1ppm ایندیم	PBS
۵	3ppm ایندیم	PBS
۶	5ppm ایندیم	PBS

پلازو گرافی یکی از روش های آمپرومتری و ولتاویری است که در آن از الکترود قطره جیوه استفاده می شود و جهت غلطت سنجی در مقیاس نانو از آن استفاده می شود. شرایط آزمایش در جدول شماره ۲ و نتایج در ادامه آمده است.

بهینه سازی زمان برای جذب ایندیم در نانوذرات مغناطیسی سیلیکا: در ادامه کار بهترین زمان برای غلطت بهینه با استفاده از سه ویال انجام شد. فرآیند با استفاده از محلول ۳ ppm ایندیم در محلول نرمال سالین و زمان های ۱، ۶ و ۲۴ ساعت بررسی شد و غلطت ها با دستگاه پلازو گرافی اندازه گیری شدند.

جدول شماره ۲. بهینه سازی شرایط زمانی جذب ایندیم در بافر نرمال سالین

شماره ویال	غلظت ایندیم(ppm)	(h) زمان
۱	3ppm ایندیم	۱ ساعت
۲	3ppm ایندیم	۶ ساعت
۳	3ppm ایندیم	۲۴ ساعت

شوند و چون با DMSO و FBS فریز بوده اند، لذا بسیار آسیب پذیرند. ابتدا آن ها را شست و شو داده و بعد به محیط کشت اضافه شدند. چون سلول ها در مراحل اولیه رشد هستند به پروتئین بیشتری نیاز دارند در نتیجه نسبت به محیط کشت مورد نیاز ۲۰ درصد FBS اضافه شد. به منظور جلوگیری از رشد باکتری ها به ازای هر ۱۰ میلی لیتر محیط کشت ۱۰۰ میکرولیتر از مخلوط آنتی بیوتیک پنی سیلین-استرپتومایسین حاوی  $100 \mu\text{g}/\text{ml}$  و  $100 \mu\text{g}/\text{ml}$  پنی سیلین و  $100 \mu\text{g}/\text{ml}$  استرپتومایسین اضافه شد. پس ۱۲ میلی لیتر RPMI 1640 برداشته و به آن ۳ میلی لیتر FBS و در پایان ۱۵۰ میکرولیتر آنتی بیوتیک اضافه شد.

کشت سلول ها:  $10^5$  سلول در  $300 \text{ }\mu\text{l}$  میکرولیتر محیط کشت کامل، در هر یک از چاهک های پلیت ۲۴ خانه ای رشد داده شد و ۲۴ ساعت در انکوباتور  $\text{CO}_2$  دار انکوبه گردید. بعد از ۲۴ ساعت  $0.5 \text{ cm}^3$  از محلول نانوذرات با اکتیویته  $37000 \text{ cpm}$  ( MSN-In- )  $111$  به چاهک های حاوی سلول های SKBR3

میزان پایداری ایندیم بر روی نانوذرات سیلیکات مغناطیسی: برای بررسی پایداری از نانوذراتی که در شرایط بهینه ایندیم بر روی آن ها ثبت شده است، استفاده شد. به این صورت که به هر کدام از ویال های حاوی نانوذرات با ایندیم جذب شده بر رویشان، ۱ میلی لیتر محلول نرمال سالین اضافه شد و بعد از هم زدن با دستگاه اولتراسونیک در زمان های مختلف نانوذرات از محلول جداسازی و با استفاده از پلازو گراف میزان رهایش ایندیم در هر زمان تعیین و پایداری آن به دست آمد.

کشت سلولی: در این مطالعه از رده سلولی SKBR3 که مربوط به سلول های ابی تیال سرطان پستان است، استفاده شد. در سال ۱۹۷۰ توسط Trempe و همکاران از ترشحات مایع جنب جدا گردید. این سلول دارای منشاء انسانی بوده و توانایی ایجاد تومور در موش های مدل آزمایشگاهی را دارد(۱۱). کشت سلول در محیط کشت RPMI 1640 انجام گرفت. سلول ها از تانک ازت بیرون آورده می

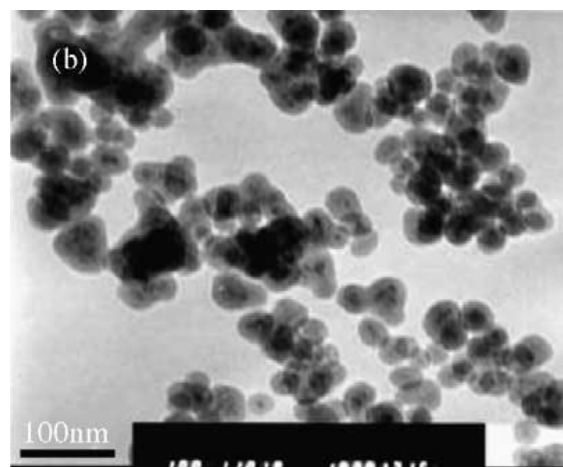
ایندیم-۱۱۱ در مدل حیوانی، از موش ماده سالم استفاده شد. ابتدا رادیونانوکنزوگه  $^{111}\text{In}$ - MSN تولید شده از طریق ورید دمی به دو موش ماده سالم(حدود ۵  $\pm 5$  میکروکوری-اکتیویته در حجم کلی ۵ میکرولیتر) تزریق شد. سپس ۱ و ۲۴ ساعت پس از تزریق توسط دوربین عکسبرداری گاما(SPECT) از لشه موش ها عکس برداری شد و نتایج توزیع تزریق رادیودارو ایندیم-۱۱۱ کپسوله شده در درون نانوذره بعد از این دو زمان ثبت شد.

#### یافته های پژوهش

نتایج حاصل از سنتز نانوذرات سیلیکات مغناطیسی: نتایج تصاویر میکروسکوپ الکترونی(شکل شماره ۱) عبوری نشان می دهد که این نانوذرات تقریباً دارای قطری در حدود ۴۰ نانومتر می باشند.

افزوده شده و در دمای ۳۷ درجه سانتی گراد انکوبه شد. پس از گذشت دو ساعت از زمان انکوباسیون، سلول ها سه مرتبه با PBS استریل شست و شو داده شده و سپس به آن ها محیط کشت کامل حاوی ۱۰ FBS درصد اضافه گردید و در شرایط رشد سلول انکوبه گردیدند. در زمان های مختلف(۱، ۲، ۴، ۶، ۱۴، ۱۸، ۲۴ و ۲۸ ساعت)، محیط RPMI موجود در چاهک ها برداشته شده و به نیمی از چاهک ها یک میلی لیتر محلول ۱٪ مولار NaOH و به نیمی دیگر از چاهک ها نیز یک میلی لیتر از محلول ۱٪ مولار اسید استیک با pH 4.0 اضافه گردید. بعد از ۱۵ دقیقه، میزان رادیواکتیویته محتویات روی سلول ها توسط گاماکانتر اندازه گیری شد.

بررسی توزیع زیستی رادیودارویی ایندیم-۱۱۱ در مدل حیوانی: جهت بررسی توزیع زیستی رادیودارویی

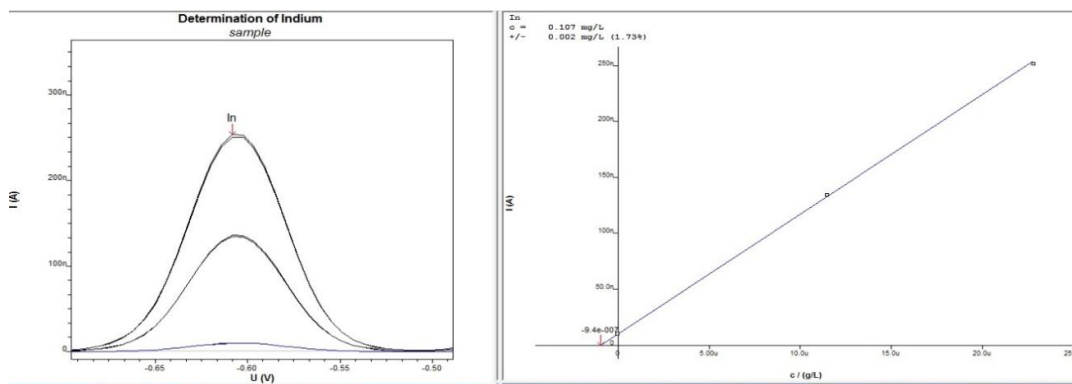


شکل شماره ۱. تصویر میکروسکوپ الکترونی عبوری نانوذرات سیلیکات مغناطیسی که نشان می دهد این نانوذرات تقریباً دارای قطری در حدود ۴۰ نانومتر هستند که مناسب فعالیت های بیولوژیکی هست.

## (ارزیابی نانوذرات سیلیکای مغناطیسی تیمار شده با ایندیم-۱۱۱ در ده سلولی ... فاطمه کشاورزی و همکاران)

محلول ۳ ppm آن کمی است و برابر ۹۲/۲۶ درصد می باشد که برای غلظت های بالاتر و پایین تر اندکی انحراف و اختلاف نشان می دهد. با بررسی میزان جذب ایندیم در بافر PBS و مقایسه نمودار حاصل از نتایج پلاروگرافی متوجه می شویم که جذب ایندیم در این محیط بسیار کمتر از بافر نرمال سالین است(حدود ۸۰ درصد).

نتایج میزان جذب ایندیم در نانوذرات مغناطیسی سیلیکات در دو بافر؛ نتایج نشان داد که بهترین شرایط جذب مربوط به غلظت ۳ ppm است که در حال نرمال سالین حاصل می شود. نمونه ای از پیک جذب ایندیم در پلاروگرافی و منحنی جذب خطی حاصل از ۳ غلظت مورد مطالعه در نمودار شماره ۱ آمده است. با توجه به نتایج مشاهده می شود که جذب ایندیم از



نمودار شماره ۱. منحنی میزان جذب ایندیم توسط نانوذرات مغناطیسی سیلیکات در بافر نرمال سالین

تخربی کرده و این محلول به عنوان کل فعالیت رادیواکتیویته(رادیوکنژوگه های وارد شده، متصل شده به سطح سلول و جدا شده از سلول) در نظر گرفته می شود. اسید استیک، برهmekش بین رادیوکنژوگه های موجود در سطح سلول را با آتنی ژن ها، گیرنده ها و ترانسپورترهای سطح سلول های SKBR3 از بین برده و رادیواکتیویته این محلول به عنوان رادیوکنژوگه های متصل شده به سطح سلول و جدا شده از سلول در نظر گرفته می شوند. تفاوت این دو فعالیت به عنوان مقدار وارد شونده رادیوکنژوگه  $^{111}\text{In}$ -MSN در نظر گرفته می شود.

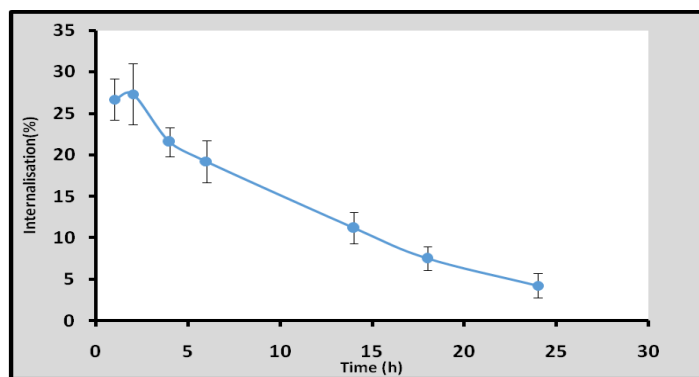
ورود رادیونانوکنژوگه  $^{111}\text{In}$ -MSN با استفاده از سلول های SKBR3 نجام شد که نتایج آن در نمودار شماره ۲ آمده است. فعالیت ایندیم رادیواکتیو وارد شده در سلول های SKBR3 برای رادیونانوکنژوگه های  $^{111}\text{In}$ -MSN پس از یک ساعت از آغاز مطالعه به ۲۶ درصد می رسد سپس در ساعت دوم پس از سنجش به ۲۷ درصد رسیده و پس از ساعت دوم درصد ورود با شبی تندری شروع به کاهش می نماید تا این که در

زمان بهینه جذب ایندیم توسط نانوذرات سیلیکات در بافر نرمال سالین مشخص می کند که با افزایش زمان مقدار بسیار اندکی در میزان جذب ایندیم افزایش مشاهده می شود، به صورتی که در زمان ۲۴ ساعت این مقدار به حدود ۹۸ درصد می رسد. از آن جایی که زمان جذب در رادیوداروها نسبت به نیمه عمر بایستی کوتاه باشد بنا بر این زمان جذب ۳ ساعت با درصد جذب ۹۲ درصد به عنوان زمان بهینه جذب انتخاب می شود. بررسی نتایج پایداری ایندیم جذب شده بر روی نانوذرات مغناطیسی سیلیکات مشخص کرد که بعد از گذشت ۳ ساعت هیچ غلظت قابل اندازه گیری از ایندیم در محلول یافت نشد. بنا بر این تا این زمان کاملاً جذب پایدار است. هم چنین در میزان رها سازی ایندیم در بافر بعد از ۲۴ ساعت فقط مقدار کمی از ایندیم، یعنی در حدود ۶ درصد میزان جذب اولیه در محلول مشاهده شد که نشان از پایداری خوب و قابل قبول ایندیم در نانوذرات دارد.

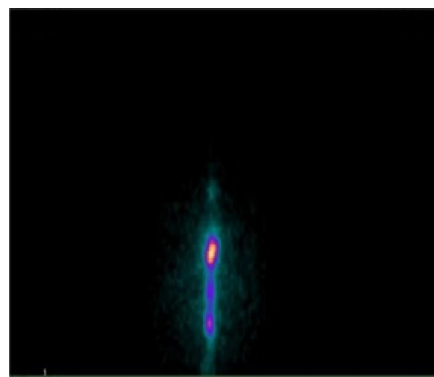
نتایج حاصل از ورود رادیوکنژوگه  $^{111}\text{In}$ -MSN بر روی رده سلولی: محلول NaOH کل سلول ها را

درون نانوذره بعد از یک ساعت و ۲۴ ساعت را نشان می‌دهد. شکل شماره ۲ تزریق بعد از یک ساعت است که نانوذرات در ناحیه دمی تجمع پیدا کرده‌اند و در حال حرکت به سمت بقیه اندام‌ها از جمله کبد و طحال هستند. شکل شماره ۳ تزریق بعد از ۲۴ ساعت است که نشان می‌دهد میزان نانوذرات کمتر شده است و توسط ماقروفازها دفع شده‌اند.

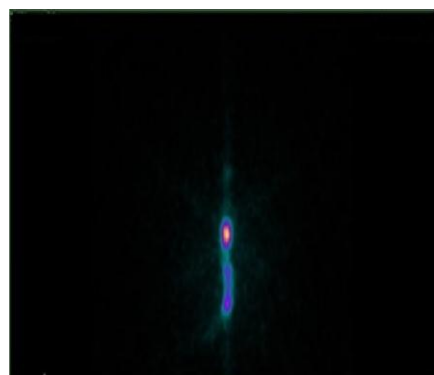
ساعت ۴ پس از آغاز مطالعه به حدود ۲۱ درصد می‌رسد و در نهایت شب کاهش، ملایم‌تر شده و همان طور که در نمودار شماره (۴,۵) نشان داده شده است درصد ورود برای  $^{111}\text{In}$ -MSN در ساعت ۲۴ پس از آغاز سنجش به حدود ۴ درصد می‌رسد. نتایج عکسبرداری از رت شاهده اشکال شماره ۲ و ۳ نتایج تزریق رادیودارو ایندیم-۱۱۱ کپسوله شده در



نمودار شماره ۲. درصد ورود رادیونانوکنثوگه  $^{111}\text{In}$ -MSN به وسیله رده سلوی SKBR3 در زمان‌های ۱، ۲، ۴، ۶، ۱۴، ۱۸، ۲۴ و ۲۸ ساعت نشان داده شده است. سنجش‌ها به صورت چهارتایی صورت گرفته‌اند (میانگین ± انحراف معیار) ( $P < 0.05$ )



شکل شماره ۲. نتایج تزریق نانوذره به رت نمونه شاهد بعد از یک ساعت



شکل شماره ۳. نتایج تزریق نانوذره به رت نمونه شاهد بعد از ۲۴ ساعت

می‌تواند در شرایط سخت از هسته مغناطیسی محافظت کند. ضمناً این لایه حاوی گروه‌های عاملی هیدروکسیل و آمین است که برای واکنش‌های اختصاصی با ملکول‌های زیستی می‌تواند مورد استفاده قرار گیرد. سمیت سیلیکات پایین بوده، تغییرات سطح شیمیایی آن آسان است و به آسانی برهمکنش‌های آن با دیگر ذرات قابل کنترل است(۹).

هم چنین در تحقیق جاری بررسی ورود رادیونانوکثروگه  $^{111}\text{In}$ -MSN به رده‌های سلول سرطانی با استفاده از سلول‌های SKBR3 انجام شد نتایج آن در نمودار شماره ۲ آمده است. فعالیت ایندیم رادیواکتیو وارد شده در سلول‌های SKBR3 برای رادیونانوکثروگه  $^{111}\text{In}$ -MSN پس از یک ساعت از آغاز مطالعه به ۲۶ درصد می‌رسد سپس در ساعت دوم پس از سنجش به ۲۷ درصد رسیده و پس از ساعت دوم درصد ورود با شبیب تندی شروع به کاهش می‌نماید تا این که در ساعت ۴ پس از آغاز مطالعه به حدود ۲۱ درصد می‌رسد و در نهایت شبیب کاهش، ملایم تر شده و همان طور که در نمودار شماره ۲ نشان داده شده است درصد ورود برای  $^{111}\text{In}$ -MSN در ساعت ۲۴ پس از آغاز سنجش به حدود ۴ درصد می‌رسد. نتایج بیان گر آن است که درصد ایترنالیزاسیون برای رادیونانوکثروگه  $^{111}\text{In}$ -MSN در ۲۴ ساعت به صورت معنی داری ( $P<0.05$ ) می‌باشد.

اشکال شماره ۲ و ۳ توسط دوربین عکسبرداری گاما(SPECT) ثبت شده است که نتایج تزریق رادیودارو ایندیم-۱۱۱ کپسوله شده در درون نانوذرات بعد از یک ساعت و ۲۴ ساعت را نشان می‌دهد. شکل شماره ۲ تزریق بعد از یک ساعت است که نانوذرات در ناحیه دمی تجمع پیدا کرده اند و در حال حرکت به سمت بقیه اندام‌ها از جمله کبد و طحال هستند. شکل شماره ۳ تزریق بعد از ۲۴ ساعت است که نشان می‌دهد میزان نانوذرات کمتر شده است و توسط ماکروفازها دفع شده اند. در تحقیقی که توسط سانن انجام شد، مشخص گردید توزیع زیستی نانوذرات در بدن، وابسته به خواص فیزیکی و شیمیایی مانند سایز، آبدوستی، آبگریزی و بار سطحی آن‌ها است(۱۶). با افزایش بار سطحی و کاهش آبدوستی نانوذرات جذب

## بحث و نتیجه گیری

دارو رسانی به کمک نانو حامل‌ها به سبب افزایش مدت زمان حضور دارو در جریان خون، کاهش سمیت، افزایش نیمه عمر دارو، کاهش توزیع سیستماتیک دارو، کاهش میزان مصرف دارو و هدف یابی دقیق تر به عنوان یکی از راهکارهای خوش آئیه در درمان سرطان‌ها و بیماری‌هایی که مورد نظر مطرح می‌باشند(۱۲،۱۳). این ذرات به سبب خواص ناشی از مغناطیسی ذاتی شان، گویی سبقت را از سایر نانو حامل‌ها ربوده اند. ساختار این ذرات منجر به تسهیل کاربری‌های آن‌ها در پزشکی، دارو رسانی، تصویربرداری و گرما درمانی(هایپرترمیا) شده است(۱۴). از بهترین مزایا این ذرات، قابلیت کنترل حرکت آن‌ها از طریق اعمال میدان مغناطیسی خارجی است که هدف اصلی دارو رسانی یعنی انتقال هدفمند دارو به بافت مورد نظر را تسهیل و سرعت بخشیده است(۱۵). رادیوداروهای درمانی از رادیوایزوتوپ‌هایی تشکیل شده اند که نشرکننده اشعه بتا و گاما می‌باشند. این رادیوداروها می‌توانند رشد سرطان توسط تابش را حذف یا کنترل کنند. رادیوداروی تزریق شده به بدن بیمار توسط بافت هدف جذب شده و با ساطع کردن انرژی مانع رشد یا حذف سلول‌های سرطانی می‌شوند(۱۶،۱۷). در سال ۱۹۹۶ یک گروه سوئدی برای اولین بار موفق شدند از رادیوداروی ایندیم-۱۱۱ در تعیین مرحله تومورهای سر و گردن کمک بگیرند(۱۸). مطالعات گذشته نشان داده اند که نانوذرات با پوشش و اندازه مناسب برای درمان و اثرات بهتر درمان موثر می‌باشند(۸،۹).

در شکل شماره ۱ نتایج تصاویر میکروسکوپ الکترونی عوری نشان می‌دهد که نانوذرات سیلیکای مغناطیسی تهییه شده، دارای قطر متوسط ۴۰ نانومتر می‌باشند. این سایز مناسب کارهای زیستی است زیرا نه ذرات بزرگ هستند که به عنوان عامل خارجی شناسایی شوند و نه آن قدر کوچک هستند که از بدن به راحتی دفع شوند(۵). لایه بیرونی سیلیکاتی برای جلوگیری از رهاسازی مواد موجود در داخل نانوذرات و هم چین برای جلوگیری از لخته شدن و تراکم نانوذرات مگنتیت می‌باشند که به پایداری آن‌ها کمک می‌کند(۸). لایه سیلیکات اطراف نانوذرات مغناطیسی

پایداری خوبی در زمان های طولانی از خود نشان می دهد. پس از بهینه سازی شرایط می توان با محلول ایندیم-۱۱۱ رادیواکتیو در شرایط بهینه آزمایش را انجام داده و از این نانوذرات به عنوان حاملی جهت این رادیو دارو استفاده نمود.

### References

- 1.Zhang L. Study on the surface modification and characterization of nano-SiO<sub>2</sub>. Russ J Inorg Chem 2005; 50: 925-30.
- 2.Jaaskelasaari HA, Kairemo KJ, Ramsay HA, Grenman R. Labelling of bleomycin with Auger-emitter increases cytotoxicity in squamous-cell cancer cell lines. Int J Rad Biol 1998; 73:565-70.
- 3.Peng S, Wang C, Xie J, Sun S. Synthesis and stabilization of monodisperse Fe nanoparticles .J American Chem Soc 2006; 128: 10676-7.
- 4.Conroy S, Jerry SH, Miqin Z. Magnetic nanoparticles in MR imaging and drug delivery. Adv Drug Del Rev 2008; 60:1252-65.
- 5.Hooge NML, Kosterink JGW, Perick PJ, Nijhuis H, Tran L, Bart J, et al. Preclinical characterization of 111ind-DTPA-trastuzumab. British J Pharm2004; 143:99-106.
- 6.Connott JM, Anderson CJ, Guo LW, Schwarz SW, Zinn KR, Rogers BE, et al. Radioimmunotherapy with a 64 Cu-labeled monoclonal antibody a comparison with 67 Cu. Nat Acad Sci USA J 1996;93: 6814-8.
- 7.Tang Y, Wang J, Scollard DA, Mondal H, Holloway C, Kahn HJ, et al. Imaging of HER2/neu-positive BT-474 human breast cancer xenografts in athymic mice using (111)In-trastuzumab (Herceptin) Fab fragments. J Nucl Med Biol 2005; 32:51-58.
- 8.Jain TK, Reddy MK, Morales MA, Leslie-Pelecky DL, Labhsetwar V. Biodistribution, clearance and biocompatibility of iron oxide magnetic nanoparticles in rats. Mol Pharm 2008; 5:316-2.
- 9.Haley B, Frenkel E. Nanoparticles for drug delivery in cancer treatment, urologic oncology. Sem Origin Invest2008;26: 57-64.
- 10.Lin W, Huang Y, Zhou X, Ma Y. In vitro toxicity of silica nanoparticles in human lung cancer cells. Toxicol Appl Pharmacol J 2006; 217:252-9.
- 11.Trempe GL. Human breast cancer in culture. Rec Result Cancer Res 1976; 57: 33-41.
- 12.Yoichi M, Yamada A, Uozumi Y. Development of a convoluted polymeric nanopalladium catalyst:  $\alpha$ -alkylation of ketones and ring-opening alkylation of cyclic 1,3-diketones with primary alcohols. Tetrahedron 2007;63:8492-8.
- 13.Duan J, Yu Y, Li Y. Toxic effect of silica nanoparticles on endothelial cells through DNA damage response via Chk1-dependentG2/M Checkpoint. Plos One J 2013 ; 8: 87-96.
- 14.Frederick RS, Ari DB, Bernard AE, Gregg JJ. Iodine alters gene expression in the MCF7 breast cancer cell line: evidence for an anti-estrogen effect of iodine. Med Sci J 2008;5:189-96.
- 15.Prijic S, Sersa G. Magnetic nanoparticles as targeted delivery systems in oncology. Radiol Oncol 2011; 45:1-16.
- 16.Soenen SJ, Cuyper M. Assessing cytotoxicity of (iron oxide-based)nanoparticles an overview of different methods exemplified with cationicmagnetoliposomes. Contrast Media Mol Imaging J 2009; 4: 207-19.
- 17.Müller RH, Maassen S, Weyhers H, Mehner W. Phagocytic uptake and cytotoxicity of solid lipid nanoparticles (SLN) sterically stabilized with poloxamine 908 and poloxamer 407. J Drug Target 1996; 4: 161-70.
- 18.Fjalling M, Andersson P, Forssellaronsson E, Gretarsdottir J, Johansson V, Tisell LE, et al. Systemic radionuclide therapy using indium-111-DTPA-D-Phe1-octreotide in midgut carcinoid syndrome. J Nucl Med 1996;37:1519-21.

توسط تشخیص سلول های ماکروفاز افزایش پیدا می کند. از آن جایی که تشخیص نانوذرات به وسیله افزایش ماکروفازها است در نتیجه تجمع نانوذرات در کبد، طحال و گره های لنفاوی است(۱۷). با توجه به نتایج به دست آمده بهترین زمان برای جذب ایندیم ۳ ساعت و بهترین بافر نرمал سالین است که



## Evaluation of Magnetic Silica Nanoparticles Treated with In-111 in SKBR-3 Cell Line

Hasanvand M<sup>1</sup>, Keshavarzi F<sup>2\*</sup>, Ashtari P<sup>3</sup>, Alirezapour B<sup>3</sup>

(Received: October 27, 2014)

Accepted: September 20, 2015)

### Abstract

**Introduction:** Magnetic nanoparticles are as nanoscale materials causing a great revolution in the diagnosis and treatment methods in medical science. Suitable half-life of the In-111 radioisotope makes use for in vivo studies. In this study, in order to obtain optimal absorption and stability the first synthesis of the silicate magnetic nanoparticles ( $\text{Fe}_3\text{O}_4@\text{SiO}_2$ ) and stabilization of the In-111 radioisotope were investigated. Then, the permeability was examined in SKBR3 breast cancer cell line for using the diagnosis of diseases.

**Materials & methods:** The magnetite core was prepared by precipitation method. Then it was used as the core for the synthesis of magnetic silicate nanoparticles. Nanoparticles were synthesized according to sol-gel method in the reverse micro emulsion using tetraethoxy silane (TEOS) and 3-amino propyl triethoxysilane (APTS) as the monomers and precursors. Then the In-111 radioisotope adsorbed on the surface of the magnetite silicate nanoparticles and formed the radio-conjugated. Finally, the entry of the radio-

conjugated nanoparticles on SKBR-3, breast cancer cell line, is studied through the cell culture.

**Findings:** TEM results were shown the average size of the nanoparticles about 40 NM. The size is suitable for biological applications. The radio-analysis revealed more than 92 percent of the primary In-111 stabilized on the nanoparticles. The nanoparticles cell culture results are revealed the highest entrance efficiency about 26-27% during the first hour from beginning the cultivation. The stability tests results revealed the stabilized radio-conjugated are stable during of washing and scattering and then considered as stable conjugation.

**Discussion & Conclusions:** Due to the unique properties of In-111 the mentioned nanoparticles, which are prepared using nano biotechnological methods would be able to apply for diagnosis purposes.

**Keywords:** Magnetic nanoparticles, In-111, SKBR3 cell line, Breast cancer

1. Dept of Biology, Kurdistan Science and Research Branch, Islamic Azad University, Sanandaj, Iran

2. Dept of Biology, Sanandaj Branch, Islamic Azad University, Sanandaj, Iran

3. Radiation Application Research School, Nuclear Science and Technology Research Institute, Tehran, Iran

\*Corresponding author E-mail: gol.keshavarzi@gmail.com